



## تولید و بررسی ریزساختار و خواص مکانیکی نانوکامپوزیت سطحی ترکیبی A356-TiO<sub>2</sub>-Gr با فرآوری اصطکاکی اغتشاشی

سعید احمدی‌فرد<sup>۱</sup>، مسعود رکنیان<sup>۲</sup>، فاطمه خدایی<sup>۳</sup>، اکبر حیدرپور<sup>۴\*</sup>

۱- کارشناس ارشد، مهندسی مواد، دانشگاه بوعلی سینا، همدان

۲- دانشجوی کارشناسی ارشد، مهندسی مواد، دانشگاه بوعلی سینا، همدان

۳- دانشجوی کارشناسی ارشد، مهندسی مواد، دانشگاه رازی، کرمانشاه

۴- استادیار، مهندسی مواد، دانشگاه صنعتی همدان، همدان

\* همدان، صندوق پستی 65155579، heidarpour@hut.ac.ir

### چکیده

آلیاز A356 یک آلیاز ریختگی بوده که شامل آلومینیم، سیلیسیم و منیزیم است. این آلیاز دارای استحکام و شکل‌پذیری خوب به همراه خواص ریختگی عالی، مقاومت به خوردگی بالا و سیالیت خوب است. این آلیاز به صورت گسترهای در صنایع ماشین‌سازی، هوپیماسازی، صنایع دفاعی و به ویژه صنایع خودروسازی به جای اجزاء فولادی استفاده می‌گردد. اما مقاومت به سایش کم این آلیازها باعث شده که استفاده از آن‌ها محدود گردد. فرآوری اصطکاکی اغتشاشی یک روش حالت جامد است که برای اصلاح سطح، بهبود خواص مکانیکی و تولید کامپوزیت استفاده می‌گردد. در این پژوهش با استفاده از فرآوری اصطکاکی اغتشاشی به اصلاح ریزساختار آلیاز A356 و توسعه نانوکامپوزیت‌های سطحی A356/TiO<sub>2</sub>/Gr و A356/TiO<sub>2</sub>/Gr پرداخته شده است. در ابتدا ترکیبی از سرعت‌های دورانی و پیشروی مختلف روی نمونه‌ها انجام شد تا نمونه بهینه با در نظر گرفتن نتایج ریزساختاری و خواص مکانیکی انتخاب شود و بهترین نتایج در سرعت دورانی 900 و پیشروی 60 mm/min بدست آمد. از میکروسکوپ نوری و الکترونی رویشی، میکروسختی، سایش و نانوفروند برای مشخصه‌یابی سطح استفاده شد. بررسی ریزساختاری نشان داد که توزیع یکنواختی از ذرات تقویت کننده در سطح نانوکامپوزیت در مقطعه اغتشاش وجود دارد. نتایج نشان داد که تشکیل نانوکامپوزیت سطحی منجر به بهبود خواص مکانیکی و رفتار سایشی آن می‌گردد. افزودن روانکار جامد گرافیت باعث بهبود خواص سایشی نانوکامپوزیت می‌شود.

دریافت: 96/3/23

پذیرش: 96/7/12

کلیدواژه‌ان:

فرآوری اصطکاکی اغتشاشی

A356

نانو کامپوزیت سطحی

خواص مکانیکی

سایش

دریافت: 96/3/23

پذیرش: 96/7/12

کلیدواژه‌ان:

فرآوری اصطکاکی اغتشاشی

A356

نانو کامپوزیت سطحی

خواص مکانیکی

سایش

## Fabrication and investigation of microstructutr and mechanical properties of A356-TiO<sub>2</sub>-Gr surface hybrid nanocomposite by friction stir processing

Saeed Ahmadifard<sup>1</sup>, Masoud Roknian<sup>1</sup>, Fatemeh Khodaei<sup>2</sup>, Akbar Heidarpour<sup>3\*</sup>

1- Department of Material Engineering, Bu Ali Sina University, Hamedan, Iran

2- Department of Material Engineering, Razi University, Kermanshah, Iran

3- Department of Metallurgy and Materials Engineering, Hamedan University of Technology, Hamedan, Iran

\* P.O.B. 65155579, Hamedan, Iran, heidarpour@hut.ac.ir

### Keywords

Friction stir processing  
A356 Al  
Surface nanocomposites  
Mechanical properties  
Wear

### Abstract

The A356 is a cast alloy which consist of aluminum, silicon and magnesium. This alloy has good strength and ductility with excellent casting properties, high corrosion resistance and good fluidity. This alloy is widely used in the automotive industry, aircraft, defense industry and especially the automotive industry as a substitution of steel components. Poor wear resistance of the alloys is major limitation for their use. Friction stir processing (FSP) is a recognized surfacing technique as it overcomes the problems of fusion route surface modification methods. In this study, friction stir processing was utilized to incorporate TiO<sub>2</sub> and graphite particles into the matrix of an A356 alloy to form surface hybrid nanocomposite. For fabrication of nanocomposite a constant tool rotation rate of 900 rpm and travel speed of 60 mm/min with a tool tilt angle of 3 degree was used. Keeping in view of the requirement for improving wear resistance of A356 alloy, friction stir processing was attempted for surface modification with TiO<sub>2</sub> and graphite powders. SEM, metallography, hardness, nanoindentation and pin-on-disc wear testing were used for characterizing the surface of nanocomposite. Microstructural analysis showed a uniform distribution of reinforcement particles inside the nugget zone. The surface nanocomposite results in enhanced properties in mechanical properties and wear resistance compared to the behavior of the base metal. Addition of solid lubricant graphite improve tribological properties of the nanocomposite.

1- مقدمه ریختگی آلومینیم محسوب می‌شوند. یکی از آلیازهای ریختگی آلومینیم آلیاز

A356 است که به علت قابلیت ریختگی خوب یکی از پرکاربردترین آلیازهای تجاری Al-Si-Mg در صنایع مختلف است [1-2]. اما مقاومت در برابر سایش

که ناشی از وجود حجم نسبتاً زیاد یوتکتیک Al-Si است، مهم‌ترین آلیازهای برای ارجاع به این مقاله از عبارت زیر استفاده نمایید:

Please cite this article using:

Ahmadi, S. Roknian, M. Khodaei, F. and Heidarpour, A., "Fabrication and investigation of microstructutr and mechanical properties of A356-TiO<sub>2</sub>-Gr surface hybrid nanocomposite by friction stir processing", In Persian, Journal of Science and Technology of Composites, Vol. 5, No. 1, pp. 61-68, 2018.

[www.SID.ir](http://www.SID.ir)

پژوهش آنها با انجام دو پاس فرآیند روی این کامپوزیت توزیع ذرات بهبود می‌یابد. احمدی فرد و همکاران [21] به بررسی تاثیر اثر تعداد پاس روی ریزساختار و خواص مکانیکی پرداختند و گزارش دادند که با افزایش تعداد پاس میانگین اندازه دانه در ناحیه اغتشاشی آلومینیم 5083 کاهش و خواص مکانیکی بهبود می‌یابد. سرینیووسو<sup>4</sup> و همکاران [22] به بررسی تاثیر اندازه A356 ذرات خودروگار MoS<sub>2</sub> بر رفتار سایشی کامپوزیت سطحی ترکیبی -A356 B<sub>4</sub>C-MoS<sub>2</sub> پرداختند و نشان دادند که با کاهش اندازه ذرات میزان مقاومت به سایش بهبود می‌یابد.

آلیاز آلومینیم A356 کاربردهای فراوانی در صنایع هواپضا و اتومبیل دارد اما وجود تخلخل، تیغه‌های سوزنی شکل درشت سیلیسیم و دندریت‌های درشت آلومینیم اولیه در ساختار ریختگی باعث کاهش خواص مکانیکی و از جمله خواص سایشی می‌شود. بنابراین هدف از انجام این پژوهش تولید نانو کامپوزیت سطحی ترکیبی A356/TiO<sub>2</sub>/Gr توسط فرآوری اصطکاکی اغتشاشی و بررسی ریزساختار، خواص مکانیکی و سایشی آن می‌باشد.

## 2- مواد و روش‌ها

فلز پایه مورد استفاده در این پژوهش، آلومینیم A356 است که جزو آلیازهای ریختگی به حساب می‌آید. ابعاد نمونه‌ها 6×50×150 میلیمتر انتخاب شد و ترکیب شیمیایی آن در جدول 1 آورده شده است.

جدول 1 ترکیب شیمیایی فلز پایه

Table 1 Chemical composition of A356 alloy

Al	Si	Mg	Fe	Ni	Cr	Sn	ماده
6.67	0.38	0.16	0.01	0.005	0.002	0.002	درصد وزنی پایه

برای اعمال ذرات تقویت کننده، سوراخهایی در سطح ورق با عمق و قطر 2 میلیمتر و با فاصله 2 میلیمتر از یکدیگر ایجاد شد. ابزار مورد استفاده در این پژوهش از جنس فولاد گرم‌کار (H13) با سختی HRC 52 انتخاب گردید. هندسه ابزار به صورت استوانه‌ای رزوه‌دار انتخاب شد تا با توجه به جنس کار یعنی تولید کامپوزیت‌های سطحی بتواند سیلان و اغتشاش لازم جهت توزیع یکنواخت ذرات تقویت کننده بر سطح کامپوزیت‌ها را ایجاد کند. قطر پین 6 میلیمتر و ارتفاع آن 4 میلیمتر و قطر شانه نیز 20 میلیمتر انتخاب گردید.

همچنین در این پژوهش از دو نوع پودر اکسید تیتانیم با میانگین اندازه 50 نانومتر و درصد خلوص 99.99 درصد و گرافیت با میانگین اندازه کمتر از 100 میکرومتر و با درصد خلوص 99 درصد مورد استفاده قرار گرفت که در شکل 1 به ترتیب تصویر TEM و SEM آنها آورده شده است. تصویر TEM از نانو ذرات اکسید تیتانیم توسط شرکت سازنده گرفته شده است.

در ابتدا فرآیند FSP با سرعت‌های دورانی 400، 600 و 900 دور بر دقیقه و پیش روی متفاوت (60، 85 و 110 میلیمتر بر دقیقه) روی نمونه‌ها انجام شد تا نمونه‌ای که از نظر ریزساختاری و خواص مکانیکی نتیجه مطلوبتری دارد به عنوان نمونه بهینه انتخاب شود. در نهایت نمونه بهینه، در سرعت دورانی 900 دور بر دقیقه و پیش روی 60 میلیمتر بر دقیقه بدست آمد و همچنین زاویه انحراف برای همه نمونه‌ها 3 درجه در نظر گرفته شد. به

کم این نوع از آلیازهای آلومینیم باعث محدودیت کاربرد آنها در موارد مختلف می‌شود. در کاربردهایی که تماس سطحی وجود دارد عمر مفید اجزاء به وسیله خواص سطحی از جمله مقاومت به سایش مشخص می‌شود [3]. از طرف دیگر، مطلوب‌تر این است که تنها لایه‌ی اجزاء به وسیله تقویت کننده‌ها، تقویت شوند در حالی که حجم ماده ساختار اصلی خود از جمله شکل‌پذیری خوب و ضربی هدایت حرارتی خود را حفظ کرده است. روش‌های مختلفی برای ساخت کامپوزیت‌های سطحی پایه فلزی وجود دارد از جمله پاشش حرارتی، لایه نشانی با لیزر، آلیاژسازی سطحی با لیزر و استفاده از اشعه پر انرژی الکترونی [4]. در این تکنیک‌ها جلوگیری از واکنش بین فازهای تقویت کننده و فلز پایه، رشد نانو ذرات و جلوگیری از تشکیل فازهای نامطلوب مشکل است. فرآیند اصطکاکی اغتشاشی<sup>1</sup> (FSP) یک فناوری مهندسی سطح است که می‌تواند با حذف موضعی عیوب ریختگی و اصلاح ریزساختار به بهبود استحکام و انعطاف‌پذیری [5]، افزایش مقاومت به خوردگی [6]، سایش و سختی [7-8]، خستگی [9] و افزودن کارپذیری و بهبود سایر خواص منجر شود [10].

فرآیند اصطکاکی اغتشاشی یک روش بر پایه جوشکاری اصطکاکی اغتشاشی است که در سال 1991 میلادی توسط موسسه جوش انگلستان<sup>2</sup> ابداع شد و در سال‌های اخیر پیشرفت چشم‌گیری در این زمینه صورت گرفته است [11]. اگرچه فرآیند اصطکاکی اغتشاشی به عنوان روش اصلاح دانه‌بندی پیشرفت نموده است، اما یک فرآیند جذاب برای ساخت کامپوزیت است [12]. در سال‌های اخیر از این روش برای ترکیب کردن ذرات سرامیکی با سطح آلیازهای مختلف از جمله آلومینیم [13]، منیزیم [14]، مس [15]، تیتانیم [16] و غیره به منظور تولید کامپوزیت‌های سطحی استفاده شده است.

مزیت استفاده از فرآیند اصطکاکی اغتشاشی برای ایجاد کامپوزیت سطحی این است که:

- در حالت جامد بوده و واکنش مضر بین ذرات تقویت کننده و فلز پایه را به حداقل می‌رساند و در نتیجه از تشکیل فازهای مضر جلوگیری می‌کند.
- موجب اصلاح ریزساختار سطحی می‌گردد.
- فرآیندی نسبتاً ساده و متغیرهای آن قابل تنظیم است [12].
- کارهای متعددی در این زمینه صورت گرفته است مثلاً مظاهری و همکاران [17] موفق به تولید نانو کامپوزیت سطحی A356/Al<sub>2</sub>O<sub>3</sub> شدند و گزارش دادند که میزان مقاومت به سایش نسبت به فلز پایه افزایش پیدا کرده است و همچنین ضربی اصطکاک نیز کاهش داشته است. علی‌دخت و همکاران [18] موفق به تولید کامپوزیت ترکیبی سطحی A356/SiC/MoS<sub>2</sub> شدند و نشان دادند که میزان سایش کامپوزیت ترکیبی نسبت به کامپوزیت سطحی A356/SiC و فلز پایه بهتر شده است. احمدی فرد و همکاران [19] به بررسی تاثیر ذرات میکرومتری و نانومتری اکسید تیتانیم بر نشان دادند که تاثیر ذرات نانومتری بر خواص مکانیکی و سایشی بسیار مطلوب‌تر از ذرات میکرومتری است. باوری<sup>3</sup> و همکاران [20] مطالعاتی بر نحوه انجام فرآیند اصطکاکی اغتشاشی بر کامپوزیت ریختگی Al-TiC انجام دادند. طبق

<sup>1</sup> Friction Stir Processing

<sup>2</sup> The welding institute (TWI)

<sup>3</sup> Bauri

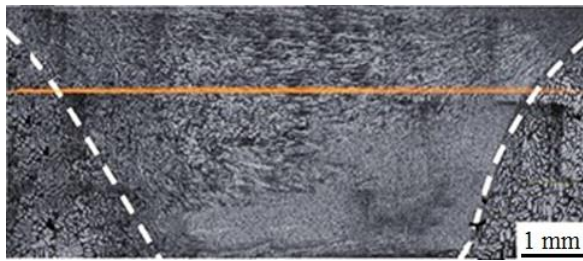


Fig. 2 Position of the microhardness test

## شکل 2 محل انجام آزمون میکروسختی

آزمون سایش بصورت پین بر روی دیسک<sup>7</sup> و بطور رفت و برگشتی طبق استاندارد ASTM G99 در دمای محیط توسط دستگاه آرکا صنعت آروین<sup>8</sup> 20 TR انجام شد. قبل از انجام آزمون سایش، نمونه‌ها تا سنباده 1200 یوساپکاری شدند. آزمون سایش به مسافت 1000 متر و بارهای اعمالی 10 نیوتون و با سرعت 0.14 متر بر ثانیه انجام شد. جنس ماده ساینده از جنس فولاد AISI D3 که سختی آن HRC 58 بود، انتخاب شد. به منظور ثبت و اندازه‌گیری کاهش وزن نمونه‌ها از یک ترازو با حساسیت  $0.1 \pm 0.1$  میلی‌گرم استفاده گردید و همچنین نیروی اصطکاک بطور اتوماتیک توسط دستگاه ثبت و در نهایت سطح ساییده شده توسط میکروسکوپ الکترونی روبشی مورد بررسی قرار گرفت.

## 3- نتایج و بحث

## 3-1- ریزساختار

شکل 3 ریزساختار فلز پایه مورد استفاده را نشان می‌دهد. همان‌گونه که نشان داده شده است ساختار آلیاژ A356 ریختگی شامل مناطق آلومینیم افالوئیه و مناطق یوتکتیک آلمینیم - سیلیسیم است.

شکل 4 ریزساختار قسمت‌های مختلف نمونه فراوری شده بدون پودر را نشان می‌دهد. پس از انجام فرآیند FSP قسمت‌های مختلفی شامل ناحیه اغتشاشی<sup>9</sup>، ناحیه متاثر ترمومکانیکی<sup>10</sup> و ناحیه متاثر از حرارت<sup>11</sup> ایجاد می‌شود [23]. به علت تمرکز حرارت در ناحیه اغتشاشی، ناحیه متاثر از حرارت قابل تشخیص نیست.

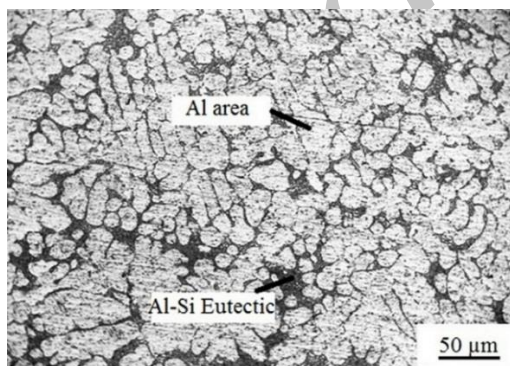


Fig. 3 Microstructure of base metal

## شکل 3 ریزساختار فلز پایه

شکل 4 الف ریزساختار فلز پایه را نشان می‌دهد که شامل تیغه‌هایی سوزنی شکل سیلیسیم و دندریت‌های درشت آلومینیم است. بدلیل اینکه

منظور تسهیل جریان مواد تعریف 6 درجه در سطح شانه ایجاد شد. به منظور توزیع بهتر ذرات در زمینه، فرآیند در 3 پاس انجام گردید و در هر پاس جهت چرخش ابزار تغییر داده شد تا توزیع ذرات بهتر صورت بگیرد، تا از احتمال انباسه شدن آن جلوگیری شود و بهترین نتیجه بدست آید.

برای بررسی ریزساختار، نمونه‌هایی از سطح مقطع قسمت فراوری شده توسط گیوتین بریده شد، سپس این نمونه‌ها تا سنباده 3000 یوساپکاری و بعد برای برطرف کردن ناصافی‌های سطح و صیقلی کردن آن، توسط دستگاه بولیش گردید. برای حکاکی کردن نمونه‌ها از محلول کلر<sup>1</sup> که ترکیب شیمیایی آن در جدول 2 آورده شده است، استفاده گردید. برای بررسی نمونه‌ها در داخل محلول حکاکی در حدود 10 ثانیه بود. برای بررسی ریزساختار از میکروسکوپ نوری (مدل آئیون<sup>2</sup> MR 500) و الکترونی روبشی (مدل ژئول<sup>3</sup> JFM-840A) استفاده گردید. همچنین به منظور تشخیص ذرات تقویت کننده و زمینه، آنالیز عنصری گرفته شد.

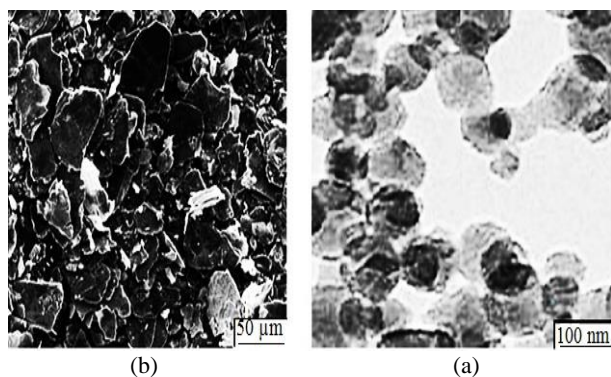
آزمون نانوفرورونده<sup>4</sup> مشتمل بر فرو رفتن یک فرورونده با هندسه و جنس مشخص، با اعمال بار بسیار کم در سطح نمونه مورد آزمایش است. برای انجام این آزمایش از دستگاه NHTX S/N: 01-03119 استفاده شد و دستگاه مذبور مجهز به میکروسکوپ نوری، میکروسکوپ نیروی اتمی و میز کنترل موقعیت نمونه با دقت 0.25 میکرومتر بود. محدوده بار اعمالی توسط دستگاه بین 0.1 تا 500 میلی نیوتون، دقت اندازه‌گیری بار 0.04 میکرونیوت، ماکزیمم عمق نفوذ 200 میکرون و دقت اندازه‌گیری عمق 0.04 نانومتر بود. فرو رونده از جنس الماس و نوع برکوویچ<sup>5</sup> مدل B-J87 است.

آزمون سختی به روش میکرو ویکرز از سطح مقطع نمونه‌ها توسط دستگاه بوهلر<sup>6</sup> LTD 80044 و طبق استاندارد ASTM E384 در دمای محیط و میزان بار اعمالی 200 گرم و به مدت 20 ثانیه انجام شد. در شکل 2 تصویری از محل انجام آزمون سختی نشان داده شده است.

جدول 2 ترکیب محلول حکاکی

Table 2 Chemical composition of etching solution

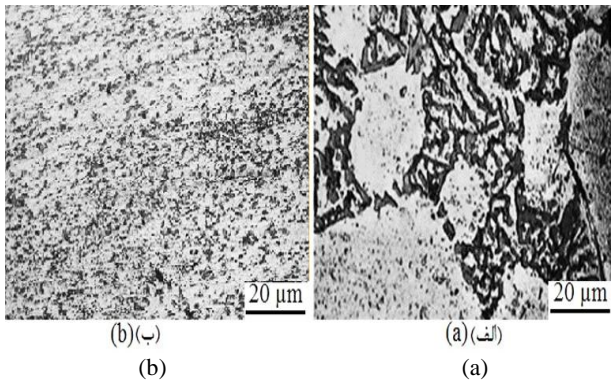
H <sub>2</sub> O	HF	HCl	HNO <sub>3</sub>
95 ml	1 ml	1.5 ml	2.5 ml



شکل 1 (الف) تصویر میکروسکوپ الکترونی تونی از ذرات اکسید تیتانیم (ب) تصویر

میکروسکوپ الکترونی روبشی از ذرات گرافیت

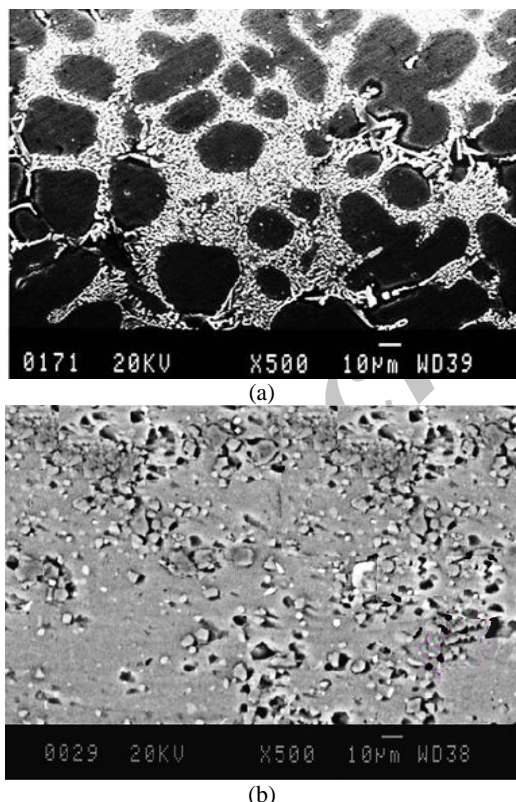
<sup>7</sup> Pin on disk<sup>8</sup> Arca sanat Arvin<sup>9</sup> Stir Zone (SZ)<sup>10</sup> Thermomechanically Affected Zone (TMAZ)<sup>11</sup> Heat Affected Zone<sup>1</sup> Keller<sup>2</sup> Unione<sup>3</sup> Jeol<sup>4</sup> Nanoindentation<sup>5</sup> Berkovich<sup>6</sup> Buehler



**Fig. 5** OM micrograph of structure and Si partial dispersion (a) BM (b) FSPed without powder sample

شکل ۵ تصاویر میکروسکوپ نوری از ساختار و توزیع ذرات سیلیسیم (الف) فلز پایه (ب) نمونه FSP شده بدون پودر

تصاویر SEM در شکل ۶ تایید کننده تصاویر شکل ۵ می‌باشد. شکل ۶ الف تصویر SEM از فلز پایه و شکل ۶ ب نیز ناحیه اغتشاشی نمونه فرآوری شده بدون پودر را نشان می‌دهد. همانطور که مشخص است ماده موجود در ناحیه فرآوری شده، متحمل اغتشاش و اختلاط شدید شده است و این امر به شکستن چشمگیر تیغه‌های سوزنی شکل درشت سیلیسیم و دندربیت‌های درشت اولیه آلومینیم منجر شده است.



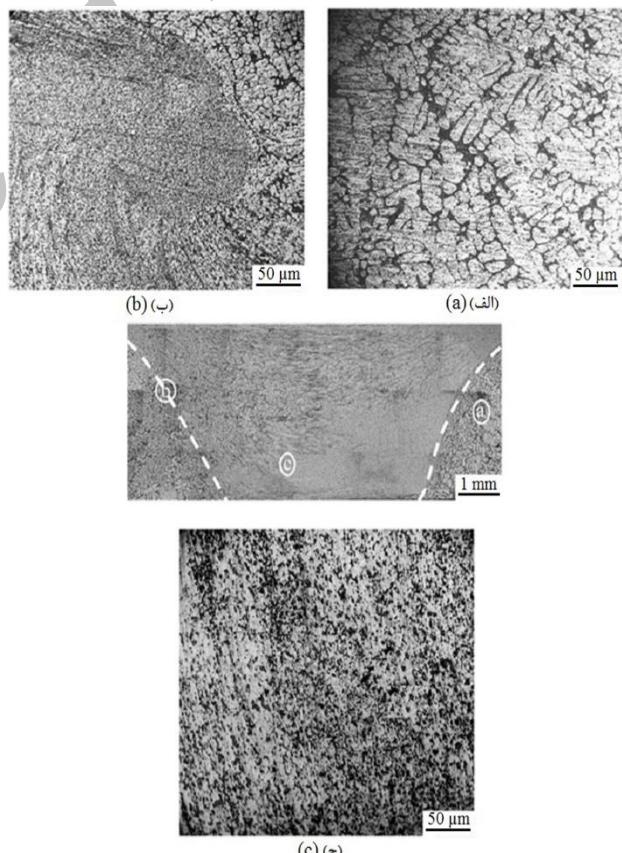
**Fig. 6** SEM micrograph of size and Si partial dispersion (a) BM (b) FSPed without powder sample

شکل ۶ تصاویر SEM از اندازه و توزیع ذرات سیلیسیم در (الف) فلز پایه (ب) ناحیه اغتشاشی نمونه FSP شده بدون پودر

شکل ۷ الف تصویر SEM از ناحیه اغتشاشی نمونه حاوی ذرات  $TiO_2$  و گرافیت را نشان می‌دهد و شکل ۷ ب همان شکل ۷ الف است که در

ذرات سیلیسیم ترجیح می‌دهند که در مرز دندربیت‌های آلومینیم اولیه پخش شوند لذا توزیع این ذرات در زمینه بصورت غیریکنواخت است. شکل ۴ ب نیز ناحیه متاثر ترمومکانیکی را نشان می‌دهد که یک ساختار بهم ریخته ناشی از تأثیر حرارت و تغییر فرم پلاستیکی زیاد دیده می‌شود. شکل ۴ ج ناحیه اغتشاشی بدون ساختار دندربیتی را نشان می‌دهد که سیلیسیم‌های یوتکتیک به صورت یکنواخت در آن توزیع شده است. ایجاد اغتشاش شدید در حین فرآیند باعث بسته شدن تخلخل‌ها و با شکستن تیغه‌های بزرگ سیلیسیم، اندازه متوسط و نسبت طول و عرض آن‌ها را کاهش داده و ذرات را به صورت یکنواخت در ناحیه اغتشاشی توزیع شده است.

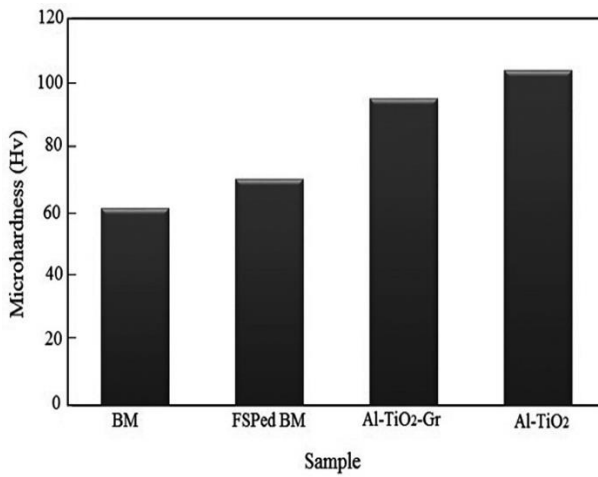
جزئیات مربوط به مورفوЛОژی، اندازه و توزیع ذرات سیلیسیم با بزرگ‌نمایی بالاتر در شکل ۵ نشان داده شده است. شکل ۵ الف تیغه‌های سوزنی شکل درشت سیلیسیم با توزیع غیریکنواخت را در نمونه‌های ریختگی A356 نشان می‌دهد. شکل ۵ ب چگالی بالایی از ذرات ریز و تقریباً هم محور را که به صورت یکنواخت در تمام ناحیه توزیع شده‌اند، نشان می‌دهد. برای بدست آوردن اندازه دانه از نرم‌افزار ایمیج جی<sup>۱</sup> استفاده و طبق استاندارد ASTM E112 انجام شد. میزان خط  $0.1 \pm 0.1$  میکرومتر بود. میانگین اندازه سیلیسیم یوتکتیک در فلز پایه ۶۸ میکرومتر، در نمونه بدون پودر ۱۷ میکرون، در نمونه حاوی ذرات گرافیت و اکسید تیتانیم ۹.۵ میکرومتر و در نمونه حاوی اکسید تیتانیم ۷ میکرون بدست آمد.



**Fig. 4** Micrograph and Micrograph of the different zone of FSPed without powder sample (a) BM zone (b) TMAZ (c) SZ

شکل ۴ تصاویر ماکرو و میکروسکوپی از نواحی مختلف نمونه FSP شده بدون پودر (الف) ناحیه فلز پایه (ب) ناحیه ترمومکانیکی (c) ناحیه اغتشاشی

<sup>1</sup> Image J



شکل 8 نمودار میکروسختی فلز پایه و نمونه‌های FSP شده

همچنین در بین نواحی مختلف ایجاد شده توسط فرآوری اصطکاکی اغتشاشی بیشترین سختی در ناحیه اغتشاشی است. طبق گزارش شینودا<sup>1</sup> و همکاران [24] علت افزایش سختی در ناحیه اغتشاشی اصلاح ساختار، حضور دانه‌های ریز و هم محور و تبلور مجدد یافته ناشی از دمای بالا و تغییر شکل پلاستیکی شدید در این ناحیه توجیه کننده این سختی بالا نسبت به سایر نواحی بوجود آمده است. همچنین وجود ذرات تقویت کننده اکسید تیتانیم در افزایش سختی ناحیه اغتشاشی تأثیرگذار است که با توزیع یکنواخت باعث کاهش بیشتر اندازه دانه می‌شود که در واقع باعث رخ دادن حالت قفل شدگی<sup>2</sup> ذرات می‌شود و همچنین این ذرات مانند مانع در برابر حرکت ناجایی‌ها عمل می‌کند [25].

### 3-3-آزمون نانوفرورونده

به منظور تعیین خواص مکانیکی نمونه‌های کامپوزیتی تولیدی و مقایسه آن‌ها با نمونه‌های اولیه، از آزمون نانوفرورونده که قابلیت اندازه‌گیری دقیق خواص مکانیکی را به صورت موضوعی و در مقیاس نانومتری دارد، استفاده شد. شکل 9 نمودار بار بر حسب عمق نفوذ به دست آمده از آزمون نمونه‌های مختلف را نشان می‌دهد. تفاوت بین سختی نمونه‌ها از اختلاف در عمق نفوذ ماکریزم آشکار است. با توجه به منحنی‌ها واضح است که سختی کامپوزیت‌های سطحی بالاتر از فلز پایه می‌باشد. اعمال فرآیند اصطکاکی اغتشاشی روی فلز پایه و انحلال رسوبات ناشی از آن، افزایش جزئی سختی و مدول یانگ را در بی داشته است [26]. توزیع ذرات تقویت کننده در زمینه، مقداری سختی و مدول الاستیک کامپوزیت‌های سطحی را افزایش داده است. بهترین نتیجه مربوط به نمونه دارای 100 درصد  $\text{TiO}_2$  بدست آمد. در جدول 3 نتایج حاصل از این آزمون آورده شده است.

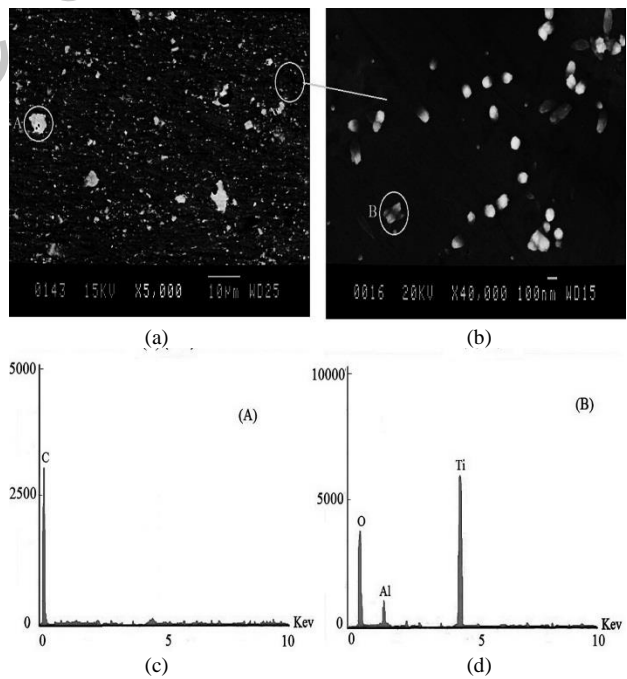
### 3-4-آزمون سایش

شکل 10 نمودار کاهش وزن و نرخ سایش بر حسب مسافت لغزش را در بار اعمالی 10 نیوتن را برای فلز پایه و نمونه‌های فرآوری شده را نشان می‌دهد. همانطور که مشخص است با افزایش مسافت لغزش میزان نرخ سایش و کاهش وزن نمونه‌ها با افزایش مسافت لغزش افزایش پیدا کرده است. در بین نمونه‌ها کمترین و بیشترین میزان کاهش وزن و نرخ سایش به ترتیب مربوط

بزرگنمایی بالاتر گرفته شده که محل انجام آن را در شکل 7 الف مشخص شده است. همانطور که مشخص است توزیع ذرات در زمینه یکنواخت بوده و این تاثیر خوبی در بهبود خواص مکانیکی دارد و همچنین مشخص است که میانگین اندازه ذرات گرافیت به شدت کاهش پیدا کرده که علت آن اغتشاش، تغییر شکل پلاستیک و فشاری که ابزار وارد آورده است، می‌باشد [18]. همچنین از ذرات موجود در ساختار آنالیز عنصری گرفته شد و مطابق با شکل 7 الف و ب نتایج نشان داد که نقاط A و B به ترتیب گرافیت و  $\text{TiO}_2$  هستند.

### 3-2-آزمون میکروسختی

شکل 8 نمودار میکروسختی فلز پایه و نمونه‌های فرآوری شده را نشان می‌دهد. همانطور که مشخص است میزان سختی در نمونه‌های فرآوری شده بیشتر از فلز پایه شده است. مطابق با نتایج بدست آمده، برای همه نمونه‌های فرآوری شده سختی در قسمت پیشرو و پسرو تقریباً یکسان است و این مسله بیانگر آن است که حرارت ورودی به هر دو قسمت ناحیه اغتشاشی تقریباً یکسان بوده است. بر اساس نتایج ریزساختاری تأثیر فرآیند اصطکاکی اغتشاشی بر توزیع سختی روی آلیاژ A356 ریختگی قابل توجه است. مقدار میکروسختی به محل فرود سختی سنجی بستگی دارد. لذا با توجه به اینکه نقاط نرم در آلیاژ‌های ریختگی که ناشی از تخلخل و هسته‌های دندربیتی آلمینیم است، توسط فرآوری اصطکاکی اغتشاشی محدود شده‌اند. بهترین نتیجه در این آزمون مربوط به نمونه‌ای که دارای 100 درصد  $\text{TiO}_2$  است، بدست آمد بطوری که سختی فلز پایه از 60 HV به 105 HV رسید.



شکل 7 تصاویر SEM از نمونه دارای ذرات گرافیت و  $\text{TiO}_2$  (الف) ناحیه اغتشاشی (ب) بزرگنمایی بالاتر (ج) و (د) نتایج آنالیز عنصری از نقاط مشخص شده

<sup>1</sup> Shinoda  
<sup>2</sup> pinning

جدول ۳ خواص مکانیکی فلز پایه و نمونه‌های FSP شده با استفاده از آزمون نانوفرورونده

Table 3 Mechanical characterizations of BM and FSPed sample using nanoindentation technique

sample	$H_{IT}$ (MPa)	$HV_{IT}$ (Vickers)	$E_{IT}$ (GPa)
BM	808	65	75
FSPed BM	823	74	79
Al-TiO <sub>2</sub> -Gr	994	102	82
Al-TiO <sub>2</sub>	1182	112	86

علت افزایش مقاومت به سایش نمونه‌های فرآوری شده ۱- افزایش سختی نسبت به فلز پایه، ۲- اصلاح ریزساختار، ۳- کاهش اندازه دانه، ۴- وجود ذرات تقویت کننده در زمینه و ۵- کاهش بار تماسی بین کامپوزیت و پین در مقایسه با فلز پایه است [27].

شکل 11 نمودار ضریب اصطکاک بر حسب مسافت لغزش در بار اعمالی 10 نیوتن را نشان می‌دهد. کمترین ضریب اصطکاک مربوط به نمونه دارای ذرات گرافیت و TiO<sub>2</sub> است بطوری‌که حدود 33 درصد نسبت به فلز پایه کاهش داشته است.

نکته قبل توجه این است که در نمونه دارای ذرات TiO<sub>2</sub> اگرچه دارای سختی بالاتری نسبت به نمونه دارای ذرات TiO<sub>2</sub> و گرافیت است اما این افزایش سختی سبب بالا رفتن نرخ سایش از سطح متقابل سایش نسبت به نمونه دارای ذرات TiO<sub>2</sub> و گرافیت می‌شود. افزایش سختی کامپوزیت سطحی سبب بدتر شدن قابلیت ماشین کاری کامپوزیت می‌گردد. اشکال دیگر ذرات سرامیکی جهت بهبود خواص سایشی، جدا شدن ذرات سرامیکی از کامپوزیت و قرار گرفتن این ذرات در بین سطوح سایش و ایجاد سایش خراشان سه جسمی می‌شود. اما در نمونه دارای ذرات گرافیت که این ماده یک خودروانکار جامد است باعث ایجاد یک فیلم روانکار در سطح سایشی شده و بدین ترتیب ضریب اصطکاک کاهش پیدا می‌کند. در واقع با کاهش ضریب اصطکاک میزان تغییر شکل پلاستیک در سطح سایش شده کمتر و باعث تبدیل شدن سایش چسبان به سایش خراشان می‌شود. گرافیت موجود باعث کاهش تنفس برشی بین ماده ساینده و سطح نمونه می‌شود [28].

دلیل بهبود ضریب اصطکاک نمونه بدون پودر نسبت به فلز پایه اصلاح ریزساختار و افزایش سختی احتمالاً بخاطر تشکیل رسوبات Mg<sub>2</sub>Si است، که باعث کاهش چسبندگی بین سطح نمونه و پین ساینده شده است [29].

همچنین این موضوع به خوبی در تصاویر SEM که در شکل 12 آورده شده است مشخص است. همینطور که از تصاویر SEM مشخص است عمق شیار ایجاد شده در سطح نمونه دارای گرافیت و TiO<sub>2</sub> نسبت به سایر نمونه‌ها کمتر است. همچنین میزان کنده شدن ماده نیز کمتر بوده که این نشان دهنده افزایش مقاومت به سایش این نمونه است. سطح سایش فلز پایه و نمونه بدون پودر بصورت لایه لایه است که علت آن بوجود آمدن تنفس برشی در سطح تماس نمونه‌ها و ماده ساینده است. همچنین وجود ذرات تقویت کننده می‌تواند به عنوان محل تمرکز تنفس باشد، اما اگر توزیع ذرات تقویت کننده یکنواخت باشد، می‌تواند مانع رشد ترک در هنگام سایش شود که در نتیجه میزان کنده شدن ماده از سطح کمتر می‌شود. مکانیزم غالب در سایش نمونه‌ها از نمونه خراشان و چسبان است ولی در فلز پایه نوع چسبان بیشتر مشاهده می‌شود [28,18].

به نمونه‌ای که دارای گرافیت و TiO<sub>2</sub> و فلز پایه بdest آمد به طوری که میزان کاهش وزن و نرخ سایش به ترتیب حدود 30 و 36 درصد کاهش داشته است.

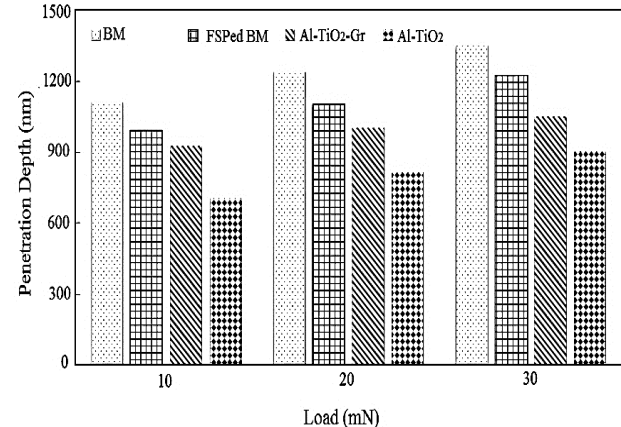


Fig. 9 Load versus penetration depth curves of BM and FSP sample

شکل 9 نمودار عمق نفوذ در بارهای مختلف برای فلز پایه و نمونه‌های FSP شده

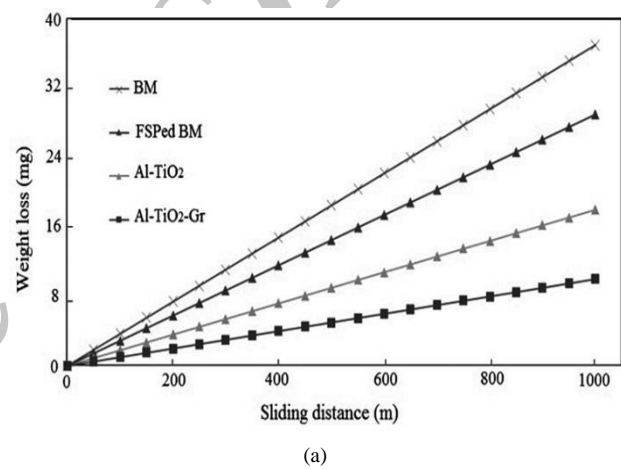
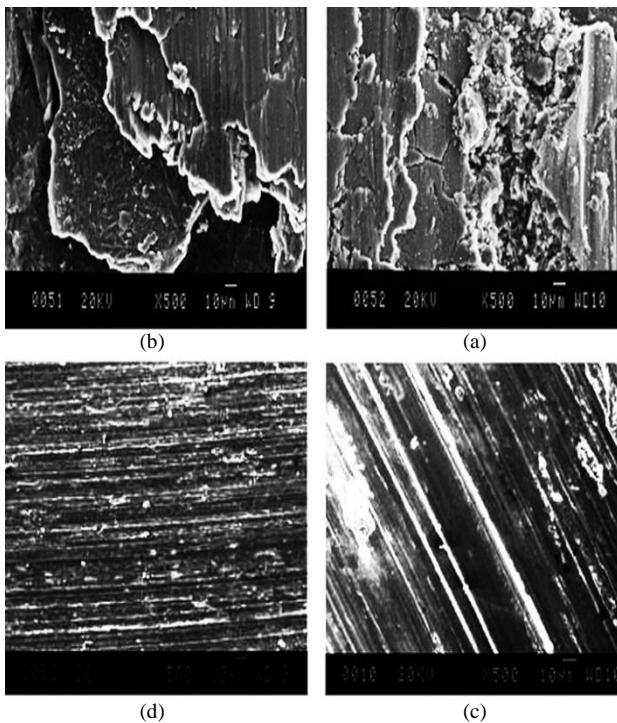


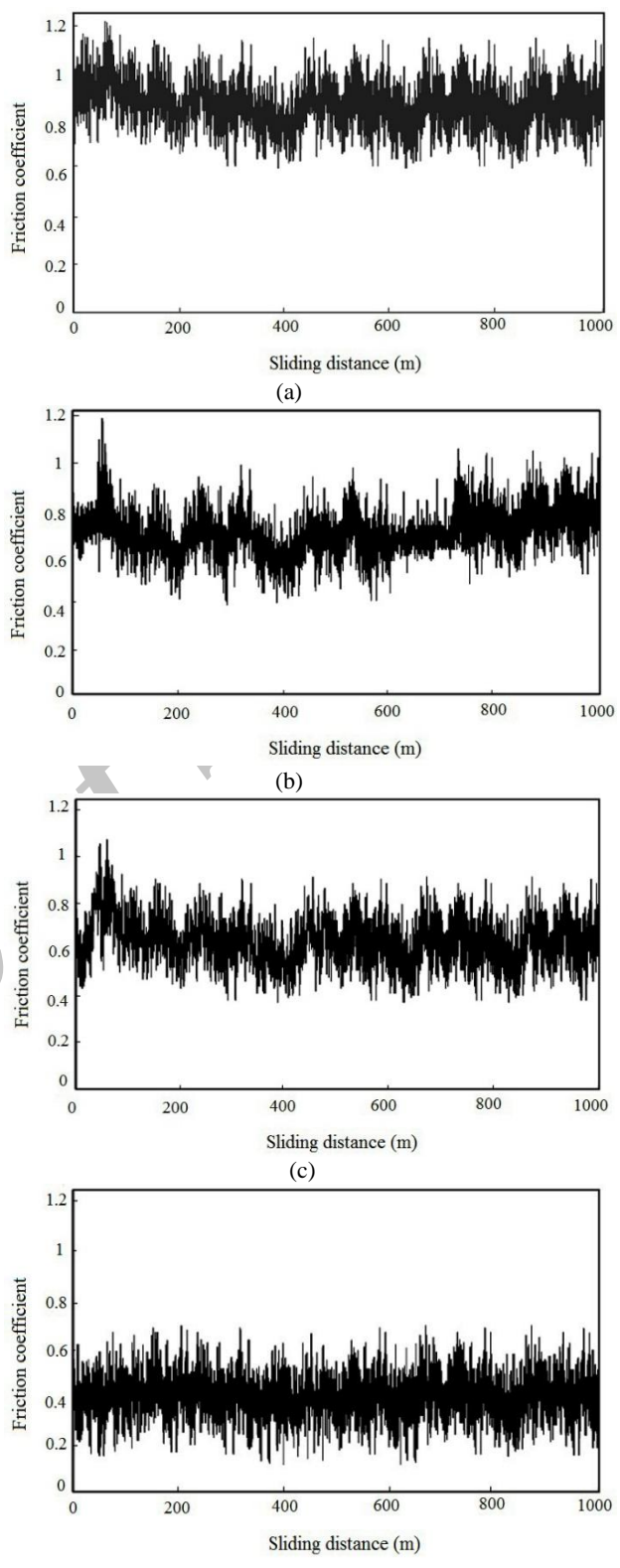
Fig. 10 The results of the wear test (a) Variation of weight loss with the sliding distance (b) Variation of wear rate with the sliding distance

شکل 10 نتایج آزمون سایش (a) تغییرپذیری کاهش وزن بر حسب مسافت لغزش (b) تغییرپذیری نرخ سایش بر حسب مسافت لغزش



**Fig. 12** SEM Image of the worn surface (a) BM (b) FSPed BM (c) sample has  $\text{TiO}_2$  (d) sample has Gr and  $\text{TiO}_2$

شکل 12 تصویر SEM از سطح ساییده شده (الف) فلز پایه (ب) فلز پایه FSP شده (ج) نمونه دارای  $\text{TiO}_2$  (د) نمونه دارای گرافیت و  $\text{TiO}_2$



**Fig. 11** Variations of friction coefficient with sliding distance for BM and FSPed samples (a) BM (b) FSPed BM (c) sample has  $\text{TiO}_2$  (d) sample has Gr and  $\text{TiO}_2$

شکل 11 تغییرپذیری ضریب اصطکاک بر حسب مسافت لغزش برای فلز پایه و نمونه‌های FSP شده (a) فلز پایه (b) فلز پایه FSP شده (c) نمونه دارای  $\text{TiO}_2$  (d) نمونه دارای گرافیت و  $\text{TiO}_2$

**۵- فهرست عالیم**

سختی	HIT
سختی	HVIT
مدول یانگ	EIT

**۶- تقدير و تشکر و پیوسته‌ها**

نويسنده‌گان بر خورد لازم می‌دانند که از مستويين و سرپرستان آزمایشگاه‌های متالوگرافی، خواص مکانیکی، ماشین ابزار و SEM دانشکده مهندسی دانشگاه بوعلی سینا به دليل همکاريشان، تقدير و تشکر نمایند.

**۷- مراجع**

- [14] Asadi, P. Faraji, G. and Besharati, M. K., "Producing of AZ91/SiC Composite by Friction Stir Processing (FSP)" The International Journal of Advanced Manufacturing Technology, Vol. 51, No. 1, pp. 247-260, 2010.
- [15] Akramifard, H. R. Shamanian, M. Sabbaghian, M. and Esmailzadeh, M., "Microstructure and Mechanical Properties of Cu/SiC Metal Matrix Composite Fabricated via Friction Stir Processing" Materials and Design, Vol. 54, No. 1, pp. 838-844, 2014.
- [16] Li, B. Shen, Y. Luo, L. and Hu, W., "Fabrication of TiCp/Ti-6Al-4V Surface Composite via Friction Stir Processing (FSP): Process Optimization, Particle Dispersion-Refinement Behavior and Hardening Mechanism" Materials Science and Engineering A, Vol. 574, No. 1, pp. 75-85, 2013.
- [17] Mazaheri, Y. Karimzadeh, F. and Enayati, M. H., "A Novel Technique for Development of A356/Al<sub>2</sub>O<sub>3</sub> Surface Nanocomposite by Friction Stir Processing" Journal of Materials Processing Technology, Vol. 211, No. 10, pp. 1614-1619, 2011.
- [18] Alidokht, S. A. Abdollah-zadeh, A. Soleymani, S. and Assadi, H., "Microstructure and Tribological Performance of an Aluminium Alloy Based Hybrid Composite Produced by Friction Stir Processing" Materials and Design, Vol. 32, No. 5, pp. 2727-2733, 2011.
- [19] Ahmadifard, S. Kazemi, Sh. and Heidarpour, A., "Fabrication of Al5083/TiO<sub>2</sub> Surface Composite by Friction Stir Process and Investigating its Microstructural, Mechanical and Wear Properties" Modares Mechanical Engineering, Vol. 15, No. 12, pp. 55-62, 2015. (in Persian) (فارسی)
- [20] Bauri, R. Yadav, D. and Suhas, G., "Effect of Friction Stir Processing (FSP) on Microstructure and Properties of Al-TiC in Situ Composite" Materials Science and Engineering A, Vol. 528, No. 13-14, pp. 4732-4739, 2011.
- [21] Ahmadifard, S. Shahin, N. Kazemi, Sh. Heidarpour, A. and Shirazi, A., "Fabrication of A5083/SiC Surface Composite by Friction stir Processing and its Characterization" Journal of Science and Technology of Composites", Vol. 2, No. 4, pp. 31-36, 2016. (in Persian) (فارسی)
- [22] Srinivasu, R. Sambasiva, R. A. Madhusudhan, R. G. and Srinivasa, R. K., "Friction Stir Surfacing of Cast A356 Aluminium-Silicon Alloy with Boro Carbide and Molybdenum Disulphide Powders" Defence Technology, Vol. 10, No. 2, pp. 1-7, 2014.
- [23] Hossieni, S. A. Ranjbar, K. Dehmolaie, R. and Amirani, A. R., "Fabrication of Al5083 Surface Composites Reinforced by CNTs and Cerium Oxide Nano Particles via Friction Stir Processing" Journal of Alloys and Compounds, Vol. 662, No. 1, pp. 725-733, 2014.
- [24] Shinoda, T. and Kawai, M., "Surface Modification by Novel Friction Thermomechanical Process of Aluminium Alloy Castings" Surface and coating Technology, Vol. 456, No. 9, pp. 170-179, 2003.
- [25] Amouri, K. Amouri, J. Ahmadifard, S. Kazazi, M. and Kazemi, S., "Preparation and Characterization of A356 Composite Reinforced with SiC Nano and Microparticles by Stir Casting Method" Modares Mechanical Engineering, Vol. 16, No. 10, pp. 335-342, 2016. (in Persian) (فارسی)
- [26] Tjong, S. C., "Novel Nanoparticle-Reinforced Metal Matrix Composites with Enhanced Mechanical Properties" Advanced Engineering Materials, Vol. 8, No. 1, pp. 639-652, 2007.
- [27] Bauri, R. and Surapa, M. K., "Sliding Wear Behavior of Al-Li-SiCp Composites" Journal of Materials Engineering and Performance", Vol. 265, No. 11-12, pp. 1756-1766, 2008.
- [28] Mostafapour, A. and Khandani, S. T., "Role of Hybrid Ratio in Microstructural, Mechanical and Sliding Wear Properties of the Al5083/Graphite/Al<sub>2</sub>O<sub>3</sub>p a Surface Hybrid Nanocomposite Fabricated via Friction Stir Processing Method" Materials Science and Engineering A, Vol. 559, No. 1, pp. 549-557, 2013.
- [29] Lashgari, H. R. Zangeneh, Sh. Shahmir, H. Saghafi, M. Emamy, M., "Heat Treatment Effect on the Microstructure, Tensile Properties and Dry Sliding Wear Behavior of A356-10% B<sub>4</sub>C Cast Composites" Materials and Design, Vol. 31, No. 9, pp. 4414-4422, 2010.